

**Ejercicio 1.**— Se considera un material elastoplástico con endurecimiento lineal, cuyo módulo elástico vale  $E = 200$  GPa, módulo de endurecimiento plástico  $H' = d\sigma_f/d\alpha = E/19$ , tensión de fluencia inicial  $\sigma_{f0} = 500$  MPa. Se ve sometido a carga uniaxial comenzando desde  $\sigma = 0$  hasta  $\sigma = 1,1\sigma_{f0}$  y a partir de aquí ciclos repetidos entre  $+1,1\sigma_{f0}$  y  $-1,1\sigma_{f0}$ . Obtener las trayectorias tensión–deformación ( $\sigma$ – $\epsilon$ ) y tensión–deformación plástica ( $\sigma$ – $\epsilon^p$ ) calculando las coordenadas de todos los puntos de la trayectoria, así como el trabajo desarrollado en un ciclo, en los dos casos siguientes:

- endurecimiento isotrópico;
- endurecimiento cinemático.

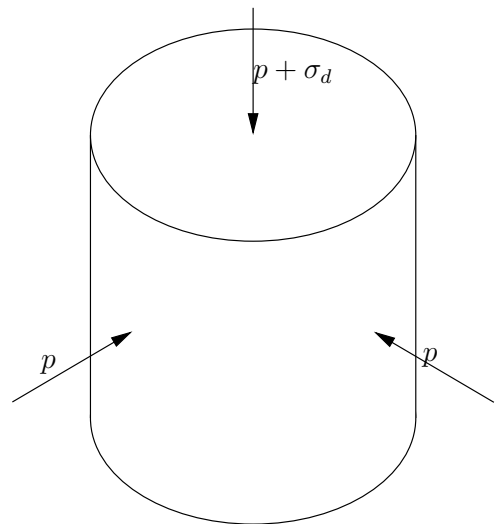
**Ejercicio 2.**— Obtener la expresión del tensor (de cuarto orden) de módulos elastoplástico tangente, a partir de las ecuaciones de la plasticidad tridimensional, comprobando que resulta:

$$d\alpha = \frac{\mathbf{F}_\sigma : \mathbf{C} : d\boldsymbol{\epsilon}}{\mathbf{F}_\sigma : \mathbf{C} : \mathbf{g} + H'}$$

$$\mathbf{C}_{ep} = \mathbf{C} - \frac{(\mathbf{C} : \mathbf{g}) \otimes (\mathbf{F}_\sigma : \mathbf{C})}{\mathbf{F}_\sigma : \mathbf{C} : \mathbf{g} + H'}$$

(En las expresiones anteriores  $\mathbf{F}_\sigma \stackrel{\text{def}}{=} \partial F / \partial \boldsymbol{\sigma}$ ,  $\mathbf{g}$  define la dirección del flujo plástico,  $\mathbf{C}$  el el tensor de elasticidad (4.º orden) y  $H'$  el módulo de endurecimiento plástico.

**Ejercicio 3.**— Se desea interpretar un ensayo triaxial de una muestra de suelo, sobre una probeta cilíndrica, sobre la que actúa la presión hidrostática  $p$  de un fluido, además de una compresión adicional uniforme en dirección axial de valor  $\sigma_d$  (desviador de tensiones).



1. Expresar la matriz de componentes del tensor de tensiones así como las tensiones principales, ordenadas de la forma  $\sigma_1 \geq \sigma_2 \geq \sigma_3$ . Calcular además la tensión de von Mises,  $\sigma_{\text{mis}} = \sqrt{\frac{3}{2} \sigma'_{pq} \sigma'_{pq}}$ , siendo  $\sigma'_{ij}$  las componentes de la tensión desviadora.
2. Admitiendo que el material sigue el criterio de fallo de Mohr-Coulomb,  $F_0(\boldsymbol{\sigma}) = (\sigma_1 - \sigma_3) + (\sigma_1 + \sigma_3) \sin \phi - 2c \cos \phi = 0$ , obtener el valor del desviador  $\sigma_d$  que será necesario aplicar para el fallo plástico del material, expresándolo en función de la presión  $p$  y de los parámetros del material ( $c, \phi$ ). Particularizar para los valores  $c = 20$  kPa,  $\phi = 30^\circ$ , y  $p = 2\sqrt{3}c$ .
3. Obtener el valor de  $\sigma_d$  que se obtendría para el fallo si se cambiasen en cada caso los siguientes parámetros:

- a)  $c \rightarrow c/2 = 10 \text{ kPa}$ ;  
 b)  $\phi \rightarrow 45^\circ$ ;  
 c)  $p \rightarrow 0$ .

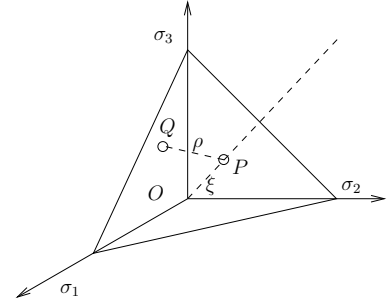
Dibujar en cada caso el círculo de Mohr correspondiente al estado de tensiones y la línea de fallo de Mohr-Coulomb en el mismo diagrama. Discutir sobre la base de los anteriores resultados el efecto de la cohesión  $c$ , el ángulo de rozamiento  $\phi$  y la presión  $p$  sobre la resistencia del material.

**Ejercicio 4.**— En el espacio de las tensiones principales para un material isótropo el punto representativo de la tensión es  $Q \equiv (\sigma_1, \sigma_2, \sigma_3)$ , mientras que  $P$  es su proyección sobre el eje hidrostático, denominando  $\xi \stackrel{\text{def}}{=} \overline{OP}$  y  $\rho \stackrel{\text{def}}{=} \overline{PQ}$ , demostrar que:

$$\xi = \sqrt{3}\sigma_m = \frac{1}{\sqrt{3}}I_1$$

$$\rho = \sqrt{2J_2} = \sqrt{\frac{2}{3}}\sigma_{\text{mis}}$$

$$= \frac{1}{\sqrt{3}} [(\sigma_1 - \sigma_2)^2 + (\sigma_2 - \sigma_3)^2 + (\sigma_3 - \sigma_1)^2]^{1/2}$$



**Ejercicio 5.**— Para un material con el criterio de fallo de Mohr-Coulomb,

$$F_0(\boldsymbol{\sigma}) = (\sigma_1 - \sigma_3) + (\sigma_1 + \sigma_3) \sin \phi - 2c \cos \phi = 0 \quad (\sigma_1 \geq \sigma_2 \geq \sigma_3),$$

- obtener la condición de fallo para las sollicitaciones siguientes:
  - Tracción uniaxial  $\sigma_1 = \sigma_t, \sigma_2 = 0, \sigma_3 = 0$ ;
  - Compresión uniaxial  $\sigma_1 = 0, \sigma_2 = 0, \sigma_3 = -\sigma_c$ ;
  - Tracción biaxial,  $\sigma_1 = \sigma_{tb}, \sigma_2 = \sigma_{tb}, \sigma_3 = 0$ ;
  - Compresión biaxial,  $\sigma_1 = 0, \sigma_2 = -\sigma_{cb}, \sigma_3 = -\sigma_{cb}$ ;
- Dibujar el corte de la superficie de fluencia en el espacio de las tensiones principales con el plano  $\sigma_3 = 0$ , demostrando que es un exágono irregular, cuyos vértices son los puntos de corte con los ejes (tensión uniaxial) y con sus bisectrices (tensión biaxial).
- Demostrar que la expresión de la recta de fallo en el meridiano de tracción  $(\rho, \xi)$ , en un estado dominado por la tracción  $\sigma_t = \sigma_1 > \sigma_2 = \sigma_3$  es

$$\rho_t = \frac{2\sqrt{6}c \cos \phi - 2\sqrt{2}\xi \sin \phi}{3 + \sin \phi}.$$

Para ello se tendrá en cuenta la descomposición de las tensiones como suma de componentes esféricas y desviadoras,

$$\begin{pmatrix} \sigma_1 & 0 & 0 \\ 0 & \sigma_2 & 0 \\ 0 & 0 & \sigma_2 \end{pmatrix} = \begin{pmatrix} \sigma_m & 0 & 0 \\ 0 & \sigma_m & 0 \\ 0 & 0 & \sigma_m \end{pmatrix} + \begin{pmatrix} 2s/3 & 0 & 0 \\ 0 & -s/3 & 0 \\ 0 & 0 & -s/3 \end{pmatrix},$$

cumpléndose que  $\sigma_m = \xi/\sqrt{3}$  y  $\rho = \sqrt{2/3}s$  (demostrar esta última expresión).

4. Demostrar que la expresión de la recta de fallo en el meridiano de compresión  $(\rho, \xi)$ , en un estado dominado por la compresión  $\sigma_1 = \sigma_2 > \sigma_3 = -\sigma_c$  ( $\sigma_c > 0$ ) es

$$\rho_c = \frac{2\sqrt{6}c \cos \phi - 2\sqrt{2}\xi \operatorname{sen} \phi}{3 - \operatorname{sen} \phi}.$$

Para ello se tendrá en cuenta la descomposición de las tensiones como suma de componentes esféricas y desviadoras,

$$\begin{pmatrix} \sigma_1 & 0 & 0 \\ 0 & \sigma_1 & 0 \\ 0 & 0 & \sigma_3 \end{pmatrix} = \begin{pmatrix} \sigma_m & 0 & 0 \\ 0 & \sigma_m & 0 \\ 0 & 0 & \sigma_m \end{pmatrix} + \begin{pmatrix} s/3 & 0 & 0 \\ 0 & s/3 & 0 \\ 0 & 0 & -2s/3 \end{pmatrix},$$